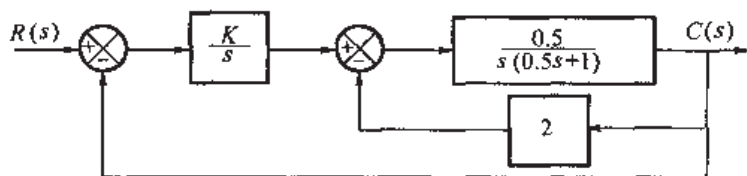


第4章 根轨迹法

书后习题解析

4-1 某反馈系统的方框图如题4-1图所示。试绘制 K 从0变到 ∞ 时该系统的根轨迹图。



题4-1图

解 给定控制系统的开环传递函数为

$$G(s) = \frac{K}{s} \cdot \frac{\frac{1}{2}}{1 + \frac{\frac{1}{2}}{s(\frac{1}{2}s+1)} \times 2} = \frac{K}{s(s^2 + 2s + 2)}$$

给定系统的根轨迹方程为

$$\frac{K}{s[s - (-1+j)][s - (-1-j)]} = -1$$

代表 180° 根轨迹。

(1) 开环极点 $p_1 = -1+j$, $p_2 = -1-j$, $p_3 = 0$, $n=3$, 无开环零点, 即 $m=0$, 故当 $k \rightarrow \infty$ 时三条根轨迹均趋向无穷远处。

(2) 三条渐近线在实轴上相交于一点, 其坐标为

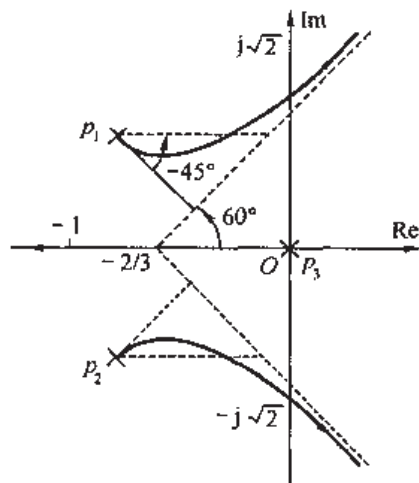
$$\sigma_a = \frac{\sum_{j=1}^n p_j - \sum_{i=1}^m z_i}{n-m} = -\frac{2}{3}$$

渐近线与实轴正方向的夹角为

$$\varphi_l = \frac{(2l+1)\pi}{n-m} = \frac{(2l+1)\pi}{3} \quad (l=0, 1, 2, \dots, n-m-1)$$

解得 $\varphi_1 = 60^\circ$, $\varphi_2 = 180^\circ$, $\varphi_3 = -60^\circ$ 。

(3) $(-\infty, 0]$ 属于实轴上的根轨迹。

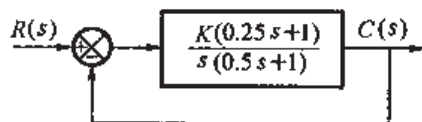


题4-1解图

(4) 出射角 $\theta_{p_1} = 180^\circ - \angle(p_1 - p_2) - \angle(p_1 - p_3) = 180^\circ - 90^\circ - 135^\circ = -45^\circ$, $\theta_{p_2} = +45^\circ$ 。

(5) 计算根轨迹与虚轴相交点的坐标。给定系统的特征方程为 $s^3 + 2s^2 + 2s + K = 0$, 令 $s = j\omega$, 则求得 $\omega = 0$ 及 $\omega = \pm\sqrt{2}$, $K = 2\omega^2$, 根轨迹与虚轴有三个交点, 其坐标分别是 $(0, j0)$, $(0, j\sqrt{2})$, $(0, -j\sqrt{2})$ 。根轨迹与虚轴相交点对应的 K 值为 $K = 0$ 和 $K = 2 \times (\sqrt{2})^2 = 4$ 。则当 $0 \leq K < 4$ 时系统稳定。根轨迹大致图形如题 4-1 解图所示。

4-2 试应用根轨迹法确定题 4-2 图所示系统无超调响应时的开环增益 K 。



题 4-2 图

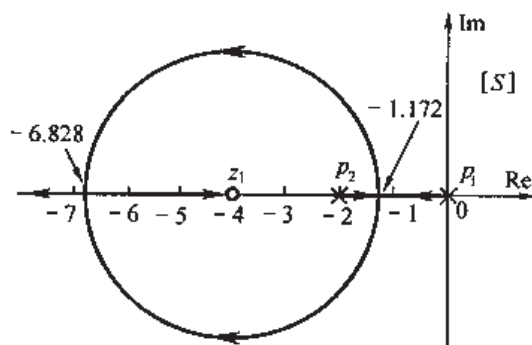
解 题 4-2 图所示系统的开环传递函数为 $G(s) = \frac{K(0.25s+1)}{s(0.5s+1)}$, 化成标准形式, 得 $G(s) = \frac{k(s+4)}{s(s+2)}$, 式中 $k = 0.5K$ 。则根轨迹方程为 $\frac{k(s+4)}{s(s+2)} = -1$, 属于 180° 根迹。

(1) 开环极点 $p_1 = 0, p_2 = -2, n = 2$; 开环零点 $z_1 = -4, m = 1$ 。所以系统具有两条根轨迹及一条渐近线。

(2) 渐近线与实轴正方向的夹角为 $\varphi = \frac{(2l+1)\pi}{n-m}$, 取 $l = n - m - 1 = 0$, 得 $\varphi = 180^\circ$ 。

(3) $(-\infty, -4]$ 和 $[-2, 0]$ 属于实轴上的根轨迹。

(4) 计算根轨迹在实轴上的分离点与会合点坐标。由 $\sum_{j=1}^n \frac{1}{d - p_j} = \sum_{i=1}^m \frac{1}{d - z_i}$, 有 $\frac{1}{d} = \frac{1}{d+2} = \frac{1}{d+4}$, 解得分离点坐标 $d_1 = -1.172$ 及会合点坐标 $d_2 = -6.828$ 。



题 4-2 解图

给定系统的根轨迹图如题 4-2 解图所示, 在复平面上根轨迹是以零点 $z_1 = -4$ 为圆心、以零点 z_1 到分离点(或会合点)的距离为半径的圆。系统无超调响应时, 系统的特征根全部为实数。即在根轨迹图上对应 $(-\infty, -4)$ 和 $(-2, 0)$ 两区段。系统特征方程为 $0.5s^2 + (1 + 0.25K)s + K = 0$, 即 $K = \frac{-(0.5s^2 + s)}{0.25s + 1}$, 将 $s = -1.172$ 及 $s = -6.828$ 代入上式, 求得 $K_1 = 0.686, K_2 = 23.31$ 。所以系统无超调响应时开环增益 K 的取值范围为 $0 \leq K \leq 0.686$ 或 $23.31 \leq K < \infty$ 。

4-3 已知某负反馈系统的前向通道及反馈通道的传递函数分别为

$$G(s) = \frac{k'(s+0.1)}{s^2(s+0.01)}, \quad H(s) = 0.6s + 1$$

试绘制该系统的根轨迹图。

解 给定系统的开环传递函数为

$$G(s)H(s) = \frac{k'(s+0.1)(0.6s+1)}{s^2(s+0.01)}$$

化成标准形式, 得

$$G(s)H(s) = \frac{k(s+0.1)(s+1.67)}{s^2(s+0.01)}$$

式中 $k = 0.6k'$ 。

(1) 开环极点 $p_1 = p_2 = 0, p_3 = -0.01, n = 3$; 开环零点 $z_1 = -0.1, z_2 = -1.67, m = 2$ 。

(2) 根轨迹有一条渐近线, 与实轴正方向的夹角为 180° 。

(3) $(-\infty, -1.67)$ 和 $[-0.1, -0.01]$ 属于实轴上的根轨迹。

(4) 确定根轨迹与实轴会合点, 由 $\frac{d}{ds} \left[\frac{1}{G(s)H(s)} \right] \Big|_{s=\alpha} = 0$, 解得 $\alpha_1 = 0, \alpha_2 = -3.4$ 。

(5) 将 $s = j\omega$ 代入系统的特征方程,

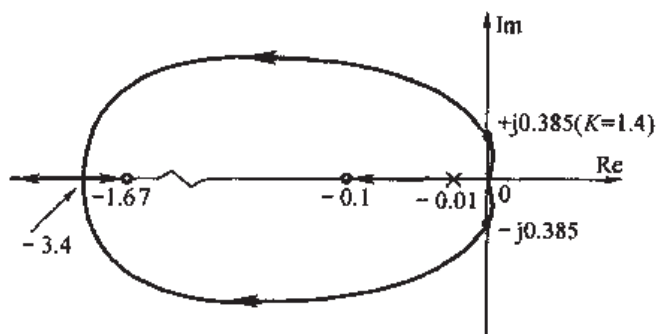
即 $1 + G(j\omega)H(j\omega) = 0$, 有

$$-w^3 + 1.77kw = 0$$

$$-(0.01 + k)w^2 + 0.167k = 0$$

最后解得 $w_1 = 0, w_{2,3} = \pm 0.385$, 对应的参变量 $k = 0.084$, 增益值为 $K =$

$$\frac{k \times 0.1 \times 1.67}{0.01} = 1.4 \text{ s}^{-2}.$$



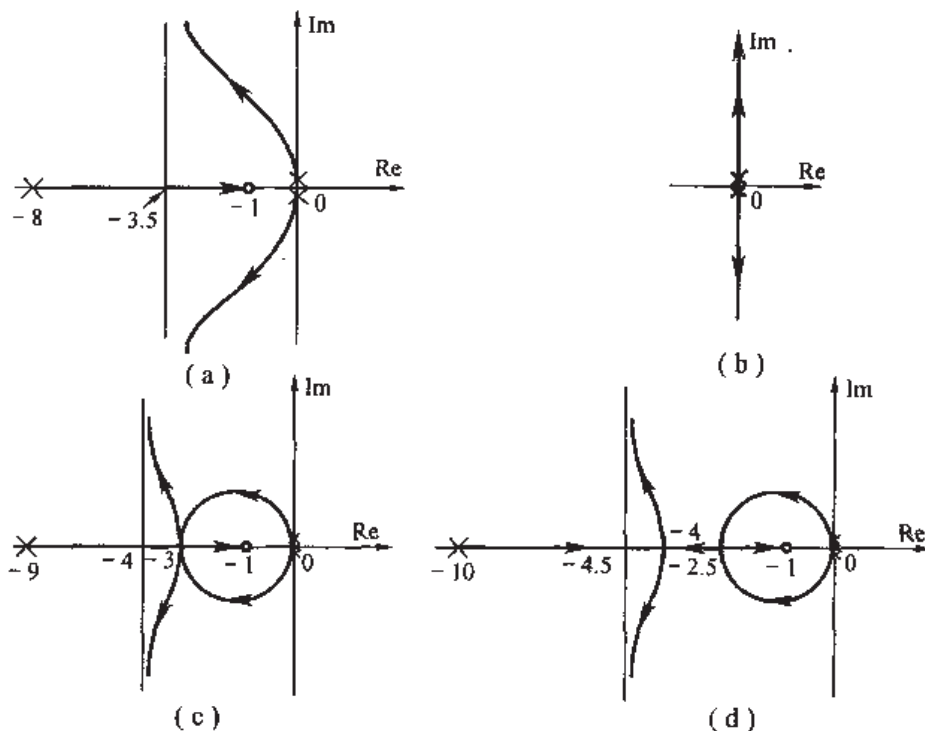
题 4-3 解图

给定系统根轨迹的大致图形如题 4-3 解图所示。注意绘制此类系统的根

轨迹图时, 切不可忽略根轨迹与虚轴相交点坐标的计算。

4-4 设某反馈系统的特征方程为 $s^2(s+a) + k(s+1) = 0$ 。试确定以 k 为参变量的根轨迹与负实轴无交点、有一个交点与有两个交点时的参量 a , 并绘制相应的根轨迹图。

解 由题意可得给定系统的根轨迹方程为 $\frac{k(s+1)}{s^2(s+a)} = -1$, 由 $\frac{2}{d} + \frac{1}{d+a} = \frac{1}{d+1}$, 求得根轨迹与负实轴交点的表达式



题 4-4 解图

$$d = \frac{-(3+a) \pm \sqrt{(a-1)(a-9)}}{4}$$

(1) 当根轨迹与负实轴无交点, 即 d 无实数解, 则 $(a-1)(a-9) < 0$, 解得此时参数 a 的取值范围为 $1 < a < 9$ 。当 $a=8$ 时根轨迹的大致图形如题 4-4 解图(a)所示。

(2) 当根轨迹与负实轴有一个交点, 即 d 为两相等实根, 此时 $a=1$ 或 $a=9$ 。 $a=1$ 及 $a=9$ 时根轨迹的大致图形分别如解图(b), (c)所示。

(3) 当根轨迹与负实轴有两个交点, 即 d 为两不等实根, 此时 $(a-1)(a-9) > 0$, 解得 $a > 9$ 。 $a=10$ 时根轨迹的大致图形如解图(d)所示。

4-5 设某正反馈系统的开环传递函数为

$$G(s)H(s) = \frac{k(s+2)}{(s+3)(s^2+2s+2)}, \text{ 试为该系统绘制以}$$

k 为参变量的根轨迹图。

解 该正反馈系统的根轨迹方程为

$$\frac{k(s+2)}{(s+3)(s^2+2s+2)} = +1, \text{ 需按 } 0^\circ \text{ 根轨迹绘制。}$$

(1) 开环极点, $p_1 = -3, p_{2,3} = -1 \pm j, n=3$; 开环零点 $z_1 = -2, m=1$ 。

(2) 根轨迹具有两条渐近线, 其与实轴正方向的夹角为

$$\varphi_l = \frac{2l\pi}{n-m} \quad (l=0, 1, \dots, n-m-1)$$

分别求得 $\varphi_1 = 0^\circ, \varphi_2 = 180^\circ$ 。

(3) $[-3, -\infty)$ 和 $[-2, +\infty)$ 为实轴上的根轨迹。

(4) 出射角

$$\theta_{p_2} = 0^\circ + \angle(p_2 - z_1) - \angle(p_2 - p_1) - \angle(p_2 - p_3) = 0^\circ + 45^\circ - 26.6^\circ - 90^\circ = -71.6^\circ$$

$$\theta_{p_3} = -\theta_{p_2} = +71.6^\circ$$

(5) 根轨迹与实轴交点

$$\left. \frac{d}{ds} \left[\frac{(s+3)(s^2+2s+2)}{k(s+2)} \right] \right|_{s=\alpha} = 0$$

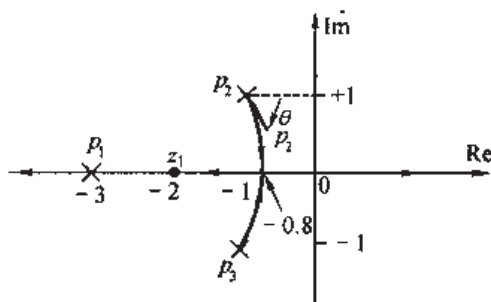
求得实数解 $\alpha_1 = -0.8$, 因此, 极轨迹与实轴会合点坐标为 $(-0.8, j0)$ 。

(6) 给定系统的特征方程为 $1 - \frac{k(s+2)}{(s+3)(s^2+2s+2)} = 0$, 即 $s^3 + 5s^2 + (8-k)s + (6-2k) = 0$, 将 $s = jw$ 代入方程, 解出 $w=0, k=3$, 对应的开环增益为 $K = \frac{k \times 2}{3 \times 2} = 1$ 。当 $1 > K \geq 0$ 时, 该系统稳定。当 $K > 1$ 时, 该系统不稳定。该系统的根轨迹大致图形如题 4-5 解图所示。

4-6 已知某正反馈系统的开环传递函数为 $G(s)H(s) = \frac{k}{(s+1)^2(s+4)^2}$, 试绘制该系统的根轨迹图 ($0 \leq k < \infty$)。

解 该正反馈系统的根轨迹方程为 $\frac{k}{(s+1)^2(s+4)^2} = +1$, 需按 0° 根轨迹绘制。

(1) 开环极点 $p_1 = p_2 = -1$ 和 $p_3 = p_4 = -4, n=4$; 而无有限零点, $m=0$ 。有四条根轨迹。



题 4-5 解图

(2) 共有四条渐近线, 与实轴的交点为 $\sigma_a = \frac{-1-1-4-4}{4} = -2.5$, 与实轴正方向的夹角为

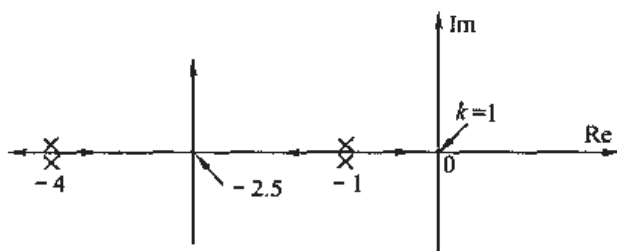
$\varphi_1 = 0^\circ, \varphi_2 = 90^\circ, \varphi_3 = 180^\circ, \varphi_4 = 270^\circ$ 。

(3) 整个实轴均属于该系统的根轨迹。

(4) 由 $\frac{d}{ds} \left[\frac{(s+1)^2(s+4)^2}{k} \right] \Big|_{s=a} = 0$, 求得根轨迹在实轴上分离点坐标为 $d = -2.5$ 。

(5) 因此可画出大致的根轨迹。根轨迹与虚轴在原点处相交, 则 $\omega = 0$ 。

将 $s = 0$ 代入特征方程 $1 - \frac{k}{(s+1)^2(s+4)^2}$, 得 $k = 16$, 开环增益 $K = \frac{k}{16} = 1$ 。则开环增益 K 的临界值为 1。给定正反馈系统的根轨迹图如题 4-6 解图所示。



题 4-6 解图

4-7 试绘制题 4-7 图所示非最小相位系统以开环增益 K 为参变量的根轨迹图。

解 题 4-7 图所示系统的开环传递函数为

$$G(s)H(s) = \frac{K(2s+1)}{(s+1)^2 \left(\frac{4}{7}s - 1 \right)}$$

进行标准化, 得

$$G(s)H(s) = \frac{k(s+0.5)}{(s+1)^2(s-1.75)}$$

式中 $k = 2K/(4/7) = 3.5K$ 。需按 180° 根轨迹绘制规则来绘制该非最小相位系统的根轨迹。

(1) 开环极点 $p_1 = p_2 = -1, p_3 = +1.75, n = 3$; 开环零点 $z_1 = -0.5, m = 1$ 。共有三条根轨迹。

(2) 两条渐近线与实轴上的交点坐标为 $\sigma_a = \frac{(-1-1+1.75)-(-0.5)}{3-1} = 0.125$, 与实轴正方向的夹角分别为 $\varphi_1 = 90^\circ, \varphi_2 = 270^\circ$ 。

(3) $[-0.5, 1.75]$ 为实轴上的根轨迹。可画出大致的根轨迹如题 4-7 解图所示。

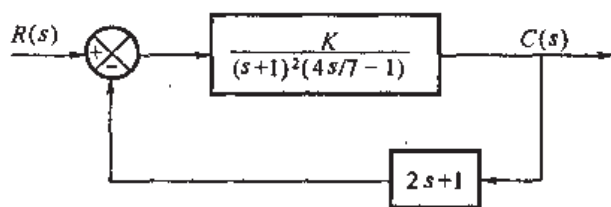
(4) 系统的特征方程为

$$(s+1)^2(s-1.75) + k(s+0.5) = 0$$

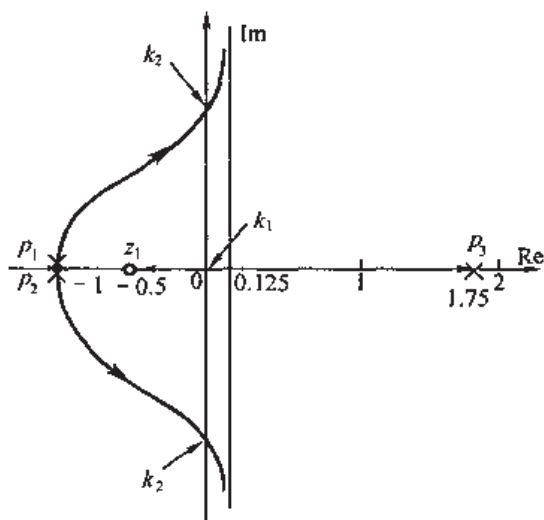
即

$$s^3 + 0.25s^2 + (k-0.25)s + (0.5k-1.75) = 0$$

令 $s = j\omega$, 求得根轨迹与虚轴交点坐标 ω 值分别为 $\omega_1 = 0, \omega_{2,3} = \pm \sqrt{k-2.5}$, 对应的参变量值



题 4-7 图



题 4-7 解图

为 $k_1 = 3.5, k_2 = 4.5$, 即 $K_1 = 1, K_2 = 1.285$ 。使系统稳定工作的 K 值范围为 $1 < K < 1.285$, 并且根轨迹与虚轴交点坐标为 $s_{2,3} = \pm j\sqrt{2}$ 。

4-8 已知非最小相位负反馈系统的开环传递函数为 $G(s)H(s) = \frac{k(1-s)}{s(s+2)}$, 试绘制该系统的根轨迹图。

解 由题意, 该非最小相位负反馈系统的特征方程为

$$1 + G(s)H(s) = 1 + \frac{k(1-s)}{s(s+2)} = 0$$

将开环传递函数化成标准形式, 得

$$G(s)H(s) = -\frac{k(s-1)}{s(s+2)}$$

则根轨迹方程为 $\frac{k(s-1)}{s(s+2)} = +1$, 则按 0° 根轨迹的绘制规则进行绘制。

(1) 开环极点 $p_1 = 0, p_2 = -2, n = 2$; 开环零点 $z_1 = +1, m = 1$ 。则有两根根轨迹和一条渐近线。

(2) 渐近线与实轴正方向的夹角为 $\varphi = 0^\circ$, 即渐近线与实轴正方向重合。

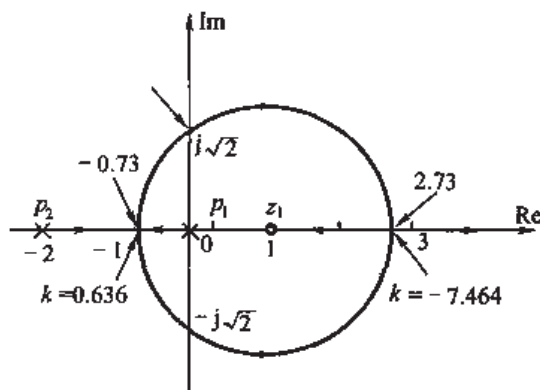
(3) $[+1, \infty)$ 及 $[0, -2]$ 为实轴上的根轨迹。

(4) 由 $\frac{1}{d} + \frac{1}{d+2} = \frac{1}{d-1}$, 解得分离点坐标 $d_1 = -0.73$ 及会合点坐标 $d_2 = 2.73$ 。

(5) 在特征方程中, 令 $s = j\omega$, 得 $\omega(2-k) = 0, -\omega^2 + k = 0$, 求得系统根轨迹与虚轴相交处 $\omega = \pm\sqrt{2}, k = 2$ 。则当 $0 < k < 2$ 时, 系统稳定; 当 $k > 2$ 时, 系统不稳定。

系统根轨迹图如题 4-8 解图所示。

注意: 给定的非最小相位系统虽是负反馈系统, 但从标准化处理而得到的根轨迹方程来看, 该系统的根轨迹必须按 0° 根轨迹的绘制规则来绘制。



题 4-8 解图

4-9 已知单位负反馈系统的开环传递函数为 $G(s) = \frac{1}{4} \frac{(s+a)}{s^2(s+1)}$, 试绘制以 a 为参变量的参量根轨迹图。

解 给定系统的特征方程为 $s^2(s+1) + \frac{1}{4}(s+a) = 0$, 进一步整理得 $\frac{\frac{1}{4}a}{s(s^2 + s + \frac{1}{4})} = -1$, 令 $A = \frac{1}{4}a$, 则根轨迹方程为 $\frac{A}{s(s^2 + \frac{1}{2})} = -1$ 。按 180° 根轨迹的绘制规则来绘制。

(1) 开环极点 $p_1 = 0, p_2 = p_3 = -\frac{1}{2}, n = 3$; 无开环零点 $m = 0$ 。则有三条根轨迹和两条渐近线。

(2) 渐近线与实轴的交点坐标为 $\sigma_a = \frac{0 - \frac{1}{2} - \frac{1}{2}}{3-0} = -\frac{1}{3}$, 与实轴正方向的夹角分别是

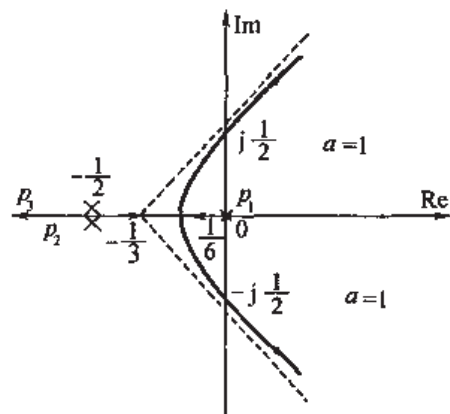
$+60^\circ, +180^\circ$ 和 -60° 。

(3) 由 $\frac{1}{d} + \frac{1}{d+\frac{1}{2}} + \frac{1}{d+\frac{1}{2}} = 0$, 得根轨迹与实轴交

点的坐标为 $d = -\frac{1}{6}$ (分离点)。

(4) 将 $s = j\omega$ 代入特征方程, 得根轨迹与虚轴交点为 $s_1 = 0, s_{2,3} = \pm \frac{1}{2}j$, 相应的参变量 a 值为 $a=0, a=1$ 。

给定系统参量根轨迹的大致图形如解图所示。从图可见, 参变量 $a > 1$ 时系统不稳定。



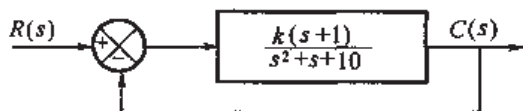
题4-9解图

4-10 某反馈系统的方框图如题4-10图所示, 试绘制该系统的根轨迹图。

解 由题4-10图求得系统的开环传递函数

为 $G(s) = \frac{k(s+1)}{s^2+s+10}$, 根轨迹方程为

$$\frac{k(s+1)}{s^2+s+10} = -1$$



题4-10图

(1) 开环极点 $p_1 = -0.5 + j3.12, p_2 = -0.5 - j3.12, n=2$; 开环零点 $z_1 = -1, m=1$ 。所以系统有两条根轨迹及一条渐近线。

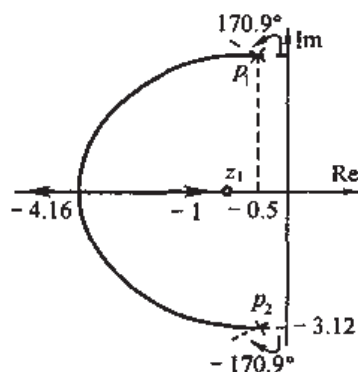
(2) 渐近线与实轴正方向的夹角为 $\varphi = \frac{(2l+1)\pi}{n-m} = \pi$ ($l=0$)。

(3) $(-\infty, -1]$ 为实轴上的根轨迹。

(4) 由 $\frac{d}{ds} \left(\frac{s^2+s+10}{s+1} \right) \Big|_{s=\sigma} = 0$ 求得根轨迹与实轴的交点为 $\sigma_1 = -4.16, \sigma_2 = 2.16$ (舍)。

(5) 出射角 $\theta_{p_1} = -180^\circ + \angle(p_1 - z_1) - \angle(p_1 - p_2) = -180^\circ + 80.9^\circ - 90^\circ = 170.9^\circ, \theta_{p_2} = -170.9^\circ$ 。

根轨迹如题4-10解图所示。



题4-10解图

4-11 设某负反馈系统的开环传递函数为 $G(s)H(s) = \frac{K(s+1)}{s^2(0.1s+1)}$, 试绘制该系统的根轨迹图。

解 将开环传递函数化成标准形式 $G(s)H(s) = \frac{k(s+1)}{s^2(s+10)}$, 式中 $k = 0.1K$, 则根轨迹方程为 $\frac{k(s+1)}{s^2(s+10)} = -1$, 按 180° 根轨迹的绘制规则来绘制。

(1) 开环极点 $p_1 = p_2 = 0, p_3 = -10, n=3$, 开环零点 $z_1 = -1, m=1$, 所以系统具有三条根轨迹及两条渐近线。

(2) 渐近线与实轴的交点为 $\sigma_a = \frac{-10+1}{2} = -4.5$, 渐近线与实轴正方向的夹角为 $\varphi_1 = \frac{\pi}{2}$,

$$\varphi_2 = \frac{3}{2}\pi_0$$

(3) $[-10, -1]$ 是实轴上的根轨迹。

(4) 由 $\frac{d}{ds} \left(\frac{s^2(s+10)}{s+1} \right) \Big|_{s=\alpha} = 0$, 解得 $\alpha_1 = -2.5, \alpha_2 = -4$ 。

根轨迹大致图形如题 4-4 解图(d)一致。

4-12 设某负反馈系统的开环传递函数为 $G(s)H(s) = \frac{k(s+4)(s+40)}{s^3(s+200)(s+900)}$, 试绘制该系统的根轨迹图。

解 根轨迹方程为 $\frac{k(s+4)(s+40)}{s^3(s+200)(s+900)} = -1$

(1) 极点 $p_1 = p_2 = p_3 = 0, p_4 = -200, p_5 = -900, n = 5$; 开环零点 $z_1 = -4, z_2 = -40, m = 2$, 所以系统具有五条根轨迹及三条渐近线。

(2) 渐近线与实轴的交点为

$$\sigma_a = \frac{\sum_{i=1}^5 p_i - \sum_{i=1}^2 z_i}{n - m} = \frac{-200 - 900 + 4 + 40}{3} = -352$$

渐近线与实轴正方向的夹角为

$$\varphi_1 = \frac{\pi}{3}, \varphi_2 = \pi, \varphi_3 = \frac{5\pi}{3}$$

(3) $(-4, 0]$ 和 $[-200, -40)$ 以及 $(-\infty, -900]$ 为实轴上的根轨迹。

(3) 根轨迹与实轴无分离、会合点。

(4) 由 $1 + G(s)H(s) = 0$, 求得系统的特征方程为

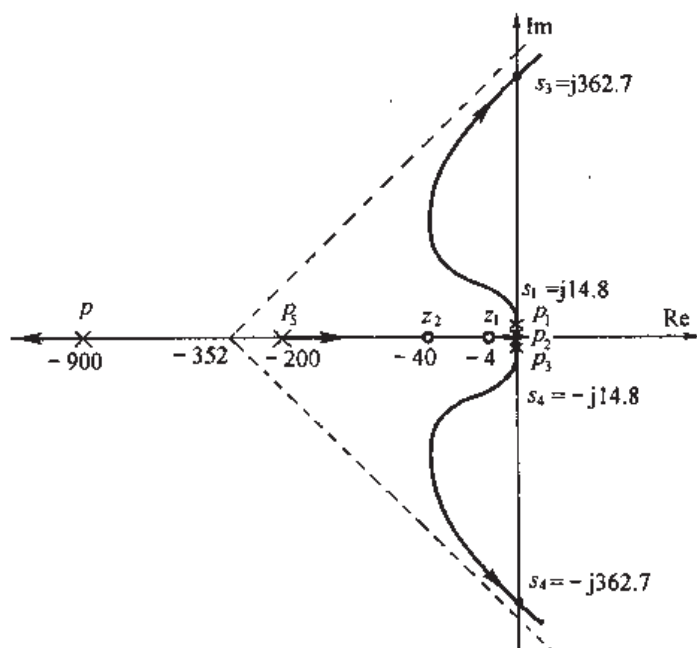
$$s^3(s+200)(s+900) + k(s+4)(s+40) = 0$$

令 $s = j\omega$, 求得根轨迹与虚轴的四个交点及对应增益为

$$\omega_{1,2} = \pm 14.8, \quad k_1 = 799;$$

$$\omega_{3,4} = \pm 362.7, \quad k_2 = 128\,776。$$

根轨迹大致图形如题 4-12 解图所示。



题 4-12 解图

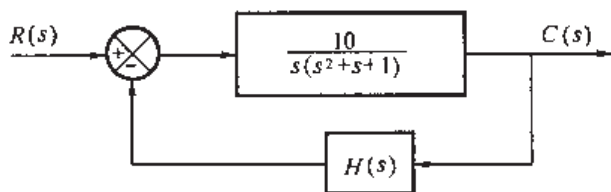
4-13 设某反馈系统的方框图如题 4-13图所示。试绘制以下各种情况下的根轨迹图：

(1) $H(s) = 1$;

(2) $H(s) = s + 1$;

(3) $H(s) = s + 2$

分析比较这些根轨迹图, 说明开环零点对系统相对稳定性的影响。



题 4-13 图

解 (1) 当 $H(s) = 1$ 时, 系统的开环传递函数为 $G(s)H(s) = \frac{K}{s(s^2 + s + 1)}$, 根轨迹方程为

$$\frac{K}{s(s^2 + s + 1)} = -1$$

① 极点 $p_1 = 0, p_2 = \frac{-1 + \sqrt{3}j}{2}, p_3 = \frac{-1 - \sqrt{3}j}{2}, n = 3$; 无开环零点, $m = 0$ 。所以系统具有三条根轨迹及三条渐近线。

② 渐近线与实轴的交点为

$$\sigma_a = \frac{\sum_{i=1}^3 p_i}{n - m} = \frac{\frac{-1 + \sqrt{3}j}{2} + \frac{-1 - \sqrt{3}j}{2}}{3} = -\frac{1}{3}$$

与实轴正方向的夹角为 $\varphi_1 = \frac{\pi}{3}, \varphi_2 = \pi, \varphi_3 = \frac{5\pi}{3}$ 。

③ $(-\infty, 0]$ 为实轴上的根轨迹。

④ 将 $s = j\omega$ 代入系统的特征方程 $s^3 + s^2 + s + K = 0$, 求得根轨迹与虚轴的交点为 $s_1 = 0, s_{2,3} = \pm j$ 。

⑤ 出射角 $\theta_{p_2} = -180^\circ + \angle(p_2 - p_1) - \angle(p_2 - p_3) = -30^\circ, \theta_{p_3} = 30^\circ$ 。

根轨迹大致图形如题 4-13 解图(a)所示。

(2) 当 $H(s) = s + 1$ 时, 系统的开环传递函数为 $G(s)H(s) = \frac{K(s+1)}{s(s^2 + s + 1)}$, 根轨迹方程为

$$\frac{K(s+1)}{s(s^2 + s + 1)} = -1$$

绘制根轨迹的步骤同上, 大体为

① 开环极点 $p_1 = 0, p_2 = \frac{-1 + \sqrt{3}j}{2}, p_3 = \frac{-1 - \sqrt{3}j}{2}, n = 3$; 开环零点 $z_1 = -1, m = 1$, 所以系统具有三条根轨迹及两条渐近线。

② 渐近线与实轴的交点为 $\sigma_a = 0$, 渐近线与实轴正方向的夹角为 $\varphi_1 = \frac{\pi}{2}, \varphi_2 = \frac{3\pi}{2}$ 。

③ $[-1, 0]$ 为实轴上的根轨迹。

④ 出射角 $\theta_{p_2} = 30^\circ, \theta_{p_3} = -30^\circ$ 。

根轨迹大致图形如题 4-13 解图(b)所示。

(3) 当 $H(s) = s + 2$ 时, 系统的开环传递函数为 $G(s)H(s) = \frac{K(s+2)}{s(s^2 + s + 1)}$, 根轨迹方程为

$$\frac{K(s+2)}{s(s^2 + s + 1)} = -1$$

① 极点 $p_1 = 0, p_2 = \frac{-1 + \sqrt{3}j}{2}, p_3 = \frac{-1 - \sqrt{3}j}{2}, n = 3$; 开环零点 $z_1 = -2, m = 1$ 。所以系统具有三条根轨迹及两条渐近线。

② 渐近线与实轴的交点为 $\sigma_a = \frac{1}{2}$, 与实轴正方向的夹角为 $\varphi_1 = \frac{\pi}{2}, \varphi_2 = \frac{3\pi}{2}$ 。

③ $[-2, 0]$ 为实轴上的根轨迹。

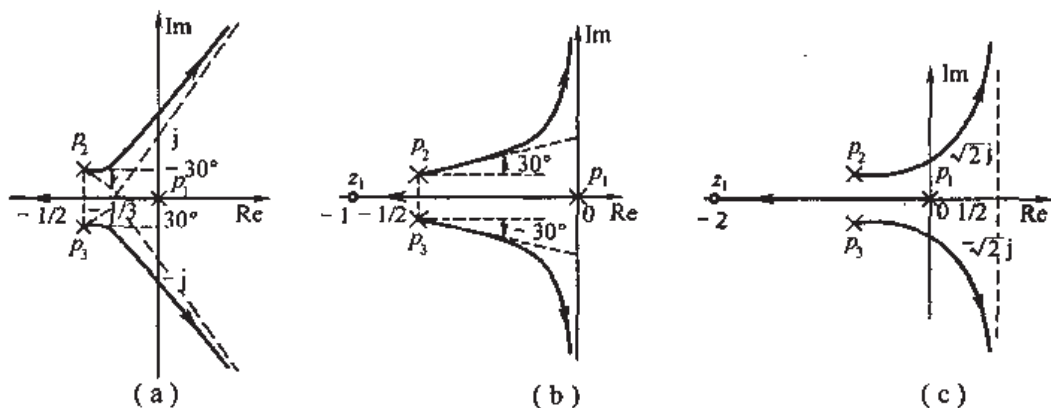
④ 将 $s = j\omega$ 代入系统的特征方程 $s^3 + s^2 + (1 + K)s + 2K = 0$, 求得根轨迹与虚轴的交点及

参变量临界值为 $s_{1,2} = \pm\sqrt{2}j, k=1$ 。

⑤出射角 $\theta_{p_2} = 0^\circ, \theta_{p_3} = 0^\circ$ 。

根轨迹大致图形如题 4-13 解图(c)所示。

从结果看出,在保持开环极点不变的情况下,增加开环零点可使闭环系统的稳定性得到改善,并且零点越靠近虚轴,效果越好。



题 4-13 解图

4-14 已知某正反馈系统的开环传递函数为 $G(s)H(s) = \frac{k}{(s+1)(s-1)(s+4)^2}$, 试绘制该系统的根轨迹图。

解 该正反馈系统的根轨迹方程为

$$\frac{k}{(s+1)(s-1)(s+4)^2} = 1$$

(1) 开环极点 $p_1 = -1, p_2 = 1, p_{3,4} = -4, n=4$; 无开环零点, $m=0$ 。所以系统具有四条根轨迹及四条渐近线。

(2) 渐近线与实轴的交点为 $\sigma_a =$

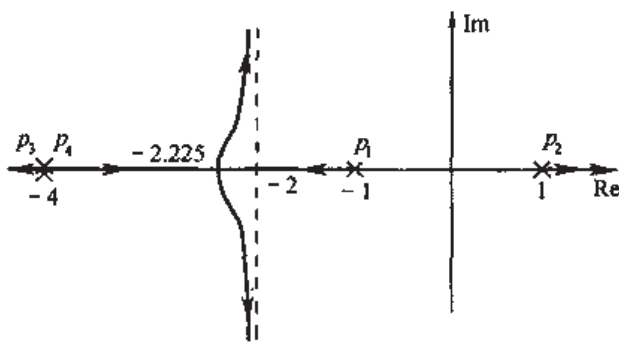
$$\frac{\sum_{i=1}^4 p_i}{n-m} = -2, \text{ 与实轴正方向的夹角为 } \varphi_1 =$$

$$0, \varphi_2 = \frac{\pi}{2}, \varphi_3 = \pi, \varphi_4 = \frac{3\pi}{2}.$$

(3) $(-\infty, -1] \cup [1, +\infty)$ 为实轴上的根轨迹。

(4) 根轨迹与实轴的交点为 $\alpha_1 = -2.225, \alpha_2 = 0.225$ (舍去)。

根轨迹大致图形如题 4-14 解图所示。



题 4-14 解图

4-15 已知非最小相位负反馈系统的开环传递函数为 $G(s)H(s) = \frac{k(s+1)}{s(s-3)}$, 试绘制该系统的根轨迹图。

解 根轨迹方程为

$$\frac{k(s+1)}{s(s-3)} = -1$$

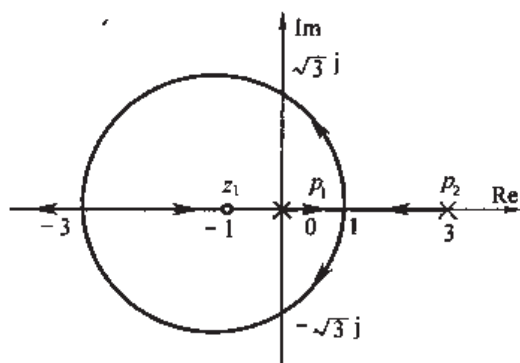
(1) 开环极点 $p_1 = 0, p_2 = 3, n = 2$; 开环零点 $z_1 = -1, m = 1$ 。所以系统具有两条根轨迹及一条渐近线。

(2) $(-\infty, -1]$ 和 $[0, 3]$ 为实轴上的根轨迹。

(3) 由 $\frac{d}{ds} \left(\frac{s(s-3)}{s+1} \right) \Big|_{s=\alpha} = 0$ 得根轨迹与实轴的交点为 $\alpha_1 = 1$ (分离点), $\alpha_2 = -3$ (会合点)。

(4) 将 $s = j\omega$ 代入系统的特征方程 $s(s-3) + k(s+1) = 0$, 解得 $\omega = \pm\sqrt{3}, k = 3$ 。

根轨迹大致图形如题 4-15 解图所示。



题 4-15 解图

4-16 已知非最小相位负反馈系统的特征方程为

$$(s+1)(s+3)(s-1)(s-3) + k(s^2+4) = 0$$

试绘制该系统的根轨迹图。

解 系统的特征方程为

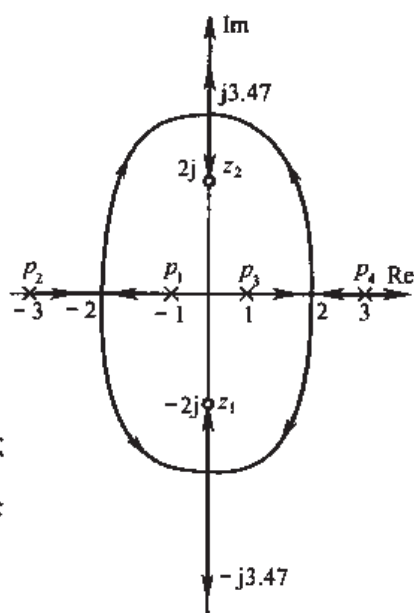
$$(s+1)(s+3)(s-1)(s-3) + k(s^2+4) = 0$$

整理得根轨迹方程为

$$\frac{k(s+2j)(s-2j)}{(s+1)(s+3)(s-1)(s-3)} = -1$$

(1) 开环极点 $p_1 = -1, p_2 = -3, p_3 = 1, p_4 = 3, n = 4$; 开环零点 $z_1 = -2j, z_2 = 2j, m = 2$, 所以系统具有四条根轨迹及两条渐近线。

(2) 渐近线与实轴的交点为 $\sigma_a = \frac{\sum_{i=1}^4 p_i - \sum_{i=1}^2 z_i}{n - m} = 0$, 与实



题 4-16 解图

轴正方向的夹角为 $\varphi_1 = \frac{\pi}{2}, \varphi_2 = \frac{3\pi}{2}$ 。

(3) $[1, 3]$ 和 $[-3, -1]$ 为实轴上的根轨迹。

(4) 由 $\frac{d}{ds} \left(\frac{(s+1)(s+3)(s-1)(s-3)}{s^2+4} \right) \Big|_{s=\alpha} = 0$, 解得 $\alpha_1 = 2, \alpha_2 = -2, \alpha_3 = j3.473, \alpha_4 = -j3.473$ 。

(5) 入射角 $\theta_{a1} = -90^\circ, \theta_{a2} = +90^\circ$ 。

根轨迹大致图形如题 4-16 解图所示。

讨论: 本题开环零、极点数均为偶数, 且关于虚轴对称分布, 所以根轨迹关于虚轴对称。

4-17 已知非最小相位负反馈系统的开环传递函数为 $G(s)H(s) = \frac{K(1-0.5s)}{s(0.25s+1)}$, 试绘制该系统的根轨迹图。

解 根轨迹方程为 $\frac{K(1-0.5s)}{s(0.25s+1)} = -1$, 整理得 $\frac{k(s-2)}{s(s+4)} = 1$, 其中 $k = 2K$, 按 0° 根轨迹绘制。步骤同题 4-8, 大体如下。

(1)极点 $p_1 = 0, p_2 = -4, n = 2$, 开环零点 $z_1 = 2, m = 1$ 。所以系统具有两条根轨迹及一条渐近线。

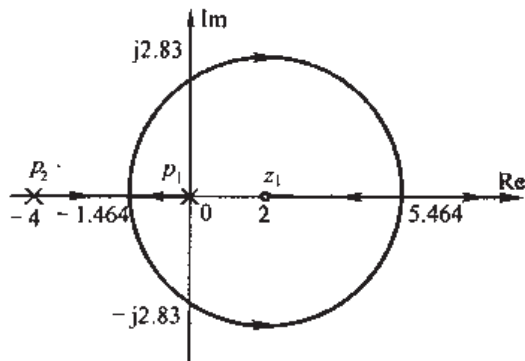
(2)渐近线与实轴正方向的夹角为 $\varphi = 0^\circ$ 。

(3) $[-4, 0]$ 和 $[2, +\infty)$ 为实轴上的根轨迹。

(4)根轨迹与实轴的交点为 $\alpha_1 = -1.464$ (分离点), $\alpha_2 = -5.464$ (会合点)。

(5)根轨迹与虚轴的交点为 $s = \pm 2.83j$, 对应的开环增益临界值为 $K_c = 2$ 。

根轨迹大致图形如题 4-17 解图所示。



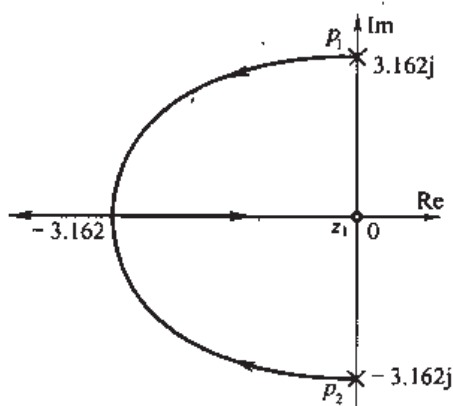
题 4-17 解图

4-18 设某负反馈系统的开环传递函数为 $G(s)H(s) = \frac{10}{s(s+a)}$, 试绘制以 a 为参变量的根轨迹图。

解 该系统的特征方程为 $1 + G(s)H(s) = 0$, 即 $s^2 + 10 + as = 0$, 整理得参量根轨迹方程为

$$\frac{as}{s^2 + 10} = -1$$

(1)开环极点 $p_1 = 3.162j, p_2 = -3.162j, n = 2$; 开环零点 $z_1 = 0, m = 1$, 所以系统具有两条根轨迹及一条渐近线。



题 4-18 解图

(2)渐近线与实轴正方向的夹角为 $\varphi = \frac{(2l+1)\pi}{n-m} = \pi$ 。

(3)实轴上的根轨迹为 $(-\infty, 0]$ 。

(4)根轨迹与实轴的交点 $\alpha_1 = 3.162$ (舍去), $\alpha_2 = -3.162$ 。

(5)根轨迹的出射角 $\theta_{p_1} = \pi, \theta_{p_2} = -\pi$ 。

根轨迹大致图形如题 4-18 解图所示。

4-19 已知某负反馈系统的开环传递函数为

$$G(s)H(s) = \frac{1000(Ts+1)}{s(0.1s+1)(0.001s+1)}$$

试绘制以时间常数 T 为参变量的参量根轨迹图。

解 系统特征方程为

$$s(0.1s+1)(0.001s+1) + 10^3(Ts+1) = 0$$

即

$$s^3 + 1010s^2 + 10^4s + 10^7 + 10^7Ts = 0$$

整理得

$$\frac{10^7Ts}{s^3 + 1010s^2 + 10^4s + 10^7} \approx \frac{10^7Ts}{(s^2 + 10^4)(s + 10^3)} = -1$$

(1)开环极点 $p_{1,2} = \pm 100j, p_3 = -10^3, n = 3$, 开环零点 $z_1 = 0, m = 1$, 所以系统具有三条根轨迹及两条渐近线。

(2)渐近线与实轴的交点为

$$\sigma_a = \frac{\sum_{i=1}^3 p_i - z_1}{n - m} = \frac{-10^3}{2} = -500$$

与实轴正方向的夹角为 $\varphi_1 = \frac{\pi}{2}, \varphi_2 = \frac{3\pi}{2}$ 。

(3) 实轴上的根轨迹为 $[-10^3, 0]$ 。

(4) 由

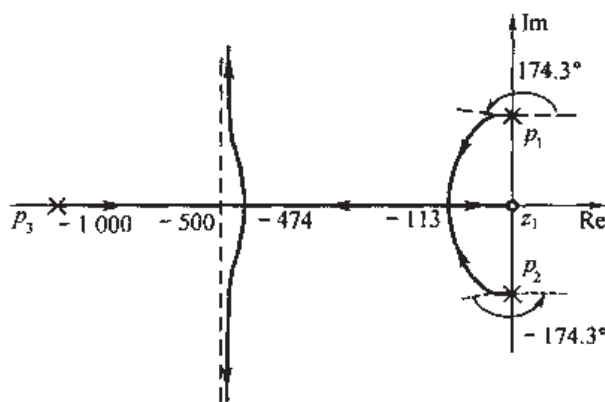
$$\frac{d}{ds} \left(\frac{s^3 + 1010s^2 + 10^4 s + 10^7}{s} \right) \bigg|_{s=\alpha} = 0$$

解得根轨迹与实轴的交点为

$$\alpha_1 = -474, \alpha_2 = -113, \alpha_3 = 92 (\text{舍去})$$

$$(5) \theta_{p_1} = -180^\circ + \angle(p_1 - z_1) - \angle(p_1 - p_2) - \angle(p_1 - p_3) = 174.3^\circ, \theta_{p_2} = -174.3^\circ$$

根轨迹大致图形如题 4-19 解图所示。



题 4-19 解图

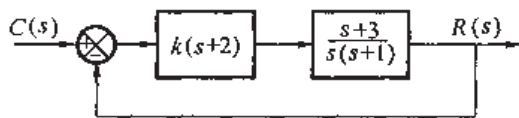
同步训练题

1. 设系统结构如题 1 图所示, 试画出该系统根轨迹图。

2. 已知开环传递函数如下, 试绘制闭环系统

根轨迹图。

$$G(s) = \frac{K}{s \left(\frac{1}{3}s + 1 \right) \left(\frac{1}{3}s^2 + s + 1 \right)}$$



题 1 图

3. 已知单位负反馈系统的闭环传递函数为

$$\Phi(s) = \frac{as}{s^2 + as + 16} \quad (a > 0)$$

要求: (1) 绘出闭环系统的根轨迹 ($0 \leq a < \infty$);

(2) 判断点 $(-\sqrt{3}, j)$ 是否在根轨迹上;

(3) 由根轨迹求出使闭环系统阻尼比 $\zeta = 0.5$ 时的 a 值。

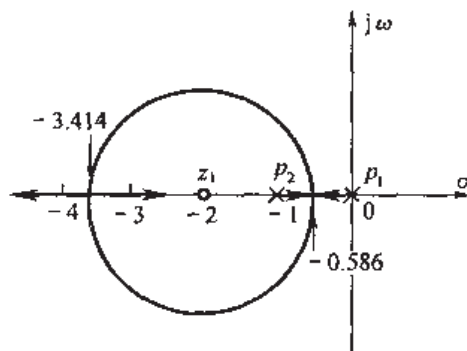
4. 已知系统开环传递函数为 $G(s) =$

$$\frac{K^*}{s(s+1)(s+2)}, \text{ 试绘制正反馈系统的根轨迹图。}$$

5. 设单位反馈系统的开环传递函数为 $G(s) = \frac{K^*(s+2)}{s(s+1)}$, 其根轨迹图见图。试从数学上证明: 复数根轨迹部分是以 $(-2, j0)$ 为圆心, 以 $\sqrt{2}$ 为半径的一个圆。

6. 设单位反馈控制系统的开环传递函数为

$$G(s) = \frac{K^*}{s+1}$$



题 5 图

试用解析法绘出 K^* 从零变到无穷时的闭环根轨迹图,并判断下列点是否在根轨迹上:

$$(-2 + j0), (0 + j1), (-3 + j2)$$

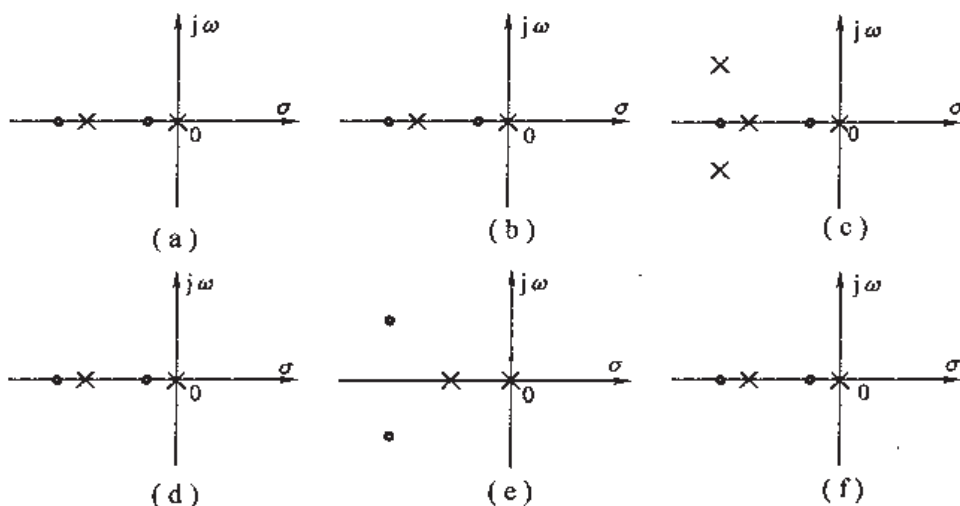
7. 设系统的开环传递函数为

$$G(s)H(s) = \frac{K}{s^2(s+1)}$$

(1) 画出根轨迹草图,判断系统的稳定性。

(2) 用根轨迹法分析,增加一个零点 a ,能否使系统稳定,并给出使系统稳定的 a 的范围。

8. 已知开环零、极点分布如题 8 图所示,试概略绘出相应的闭环根轨迹图。



题 8 图

9. 已知最小相位负反馈系统的特征方程为

$$s(s-2)(s+2)(s+4) + K(s^2 + 2s + 5) = 0$$

试绘制该系统根轨迹的大致形状,并确定系统稳定的 K 值。

10. 单位负反馈系统的开环传递函数为

$$G(s) = \frac{k}{s(s+3)(s+7)}$$

试确定使系统具有欠阻尼阶跃响应特性的取值范围。

同步训练题答案

1. 解 根轨迹图如题 1 解图所示。

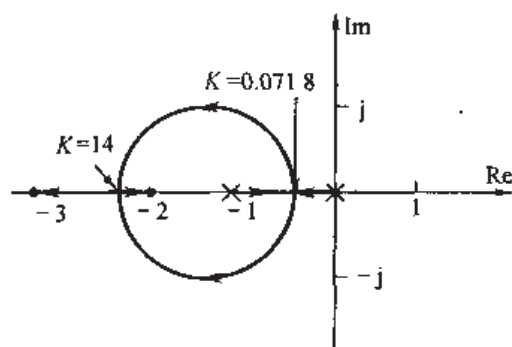
2. 解 根轨迹图如题 2 解图所示。

3. 解 (1) 根轨迹图如题 3 解图所示;

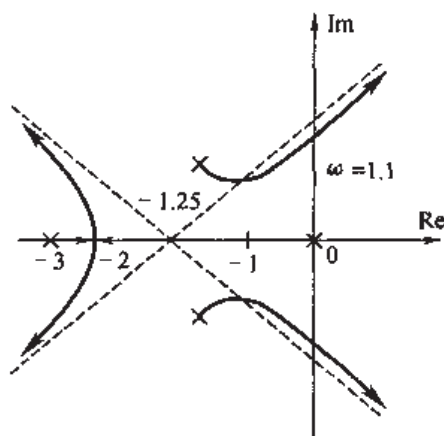
(2) 不在根轨迹上;

(3) $a = 4$ 。

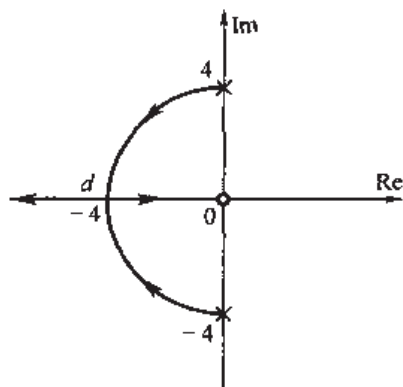
4. 解 正反馈系统的根轨迹图如题 4 解图所示。



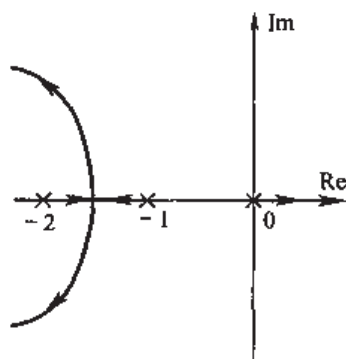
题1解图



题2解图



题3解图



题4解图

5. 证明 闭环特征方程为

$$D(s) = s(s+1) + K^*(s+2) = s^2 + (1+K^*)s + 2K^* = 0$$

$$\lambda = \frac{-(1+K^*) \pm \sqrt{(1+K^*)^2 - 8K^*}}{2} = \frac{-(1+K^*) \pm j\sqrt{8K^* - (1+K^*)^2}}{2} = \sigma \pm j\omega$$

$$\sigma = \frac{-(1+K^*)}{2} \quad (1)$$

$$\omega = \pm \frac{1}{2} \sqrt{8K^* - (1+K^*)^2} \quad (2)$$

由式(1)得

$$K^* = -2\sigma - 1 \quad (3)$$

由式(3)代入式(2), 整理得 $(\sigma+2)^2 + \omega^2 = 2$ 。

6. 解 当 $K^* = 0$ 时, $s = -1$; $K^* = 1$, $s = -2$; $K^* = 2$, $s = -3$; $\cdots K^* \rightarrow \infty$, $s \rightarrow \infty$ 。可逐个描点得闭环根轨迹如题6解图所示, 从图中明显可见, 只有 $(-2, j0)$ 在根轨迹上。

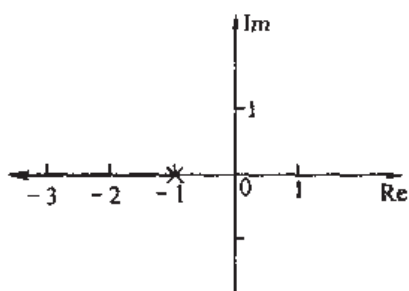
7. 解 (1) 根轨迹图如题7解图(a)所示, 系统不稳定。

(2) 当 $a > 1$ 时, 根轨迹如解图(b)所示, 系统不稳定; 当 $a < 1$ 时, 根轨迹如解图(c)所示, 系统稳定。

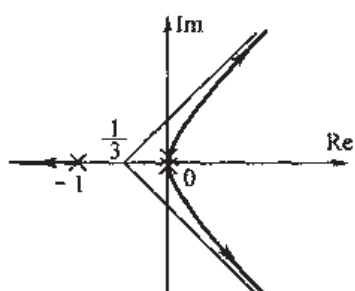
8. 解 闭环根轨迹图如题8解图所示。

9. 解 根轨迹大致图形如题9解图所示, 当 $K > 28$ 时, 系统是稳定的。

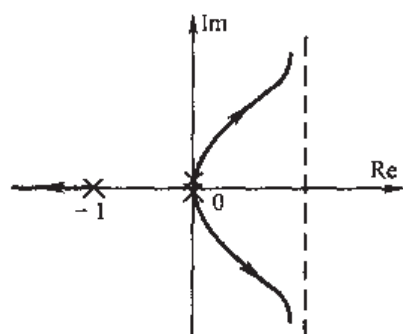
10. 解 根轨迹图如题10解图所示。



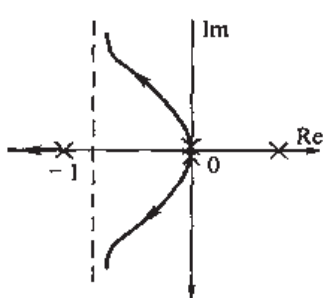
题6解图



题7解图(a)



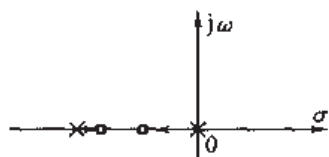
题7解图(b)



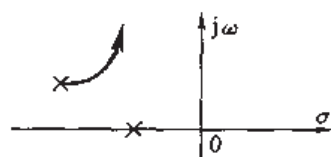
题7解图(c)



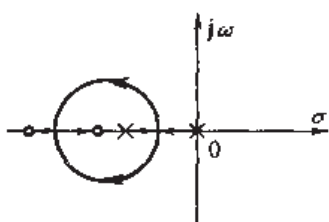
(a)



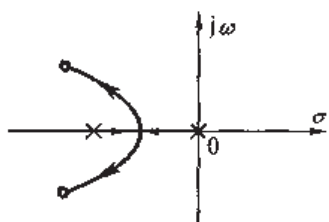
(b)



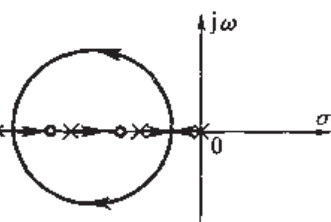
(c)



(d)



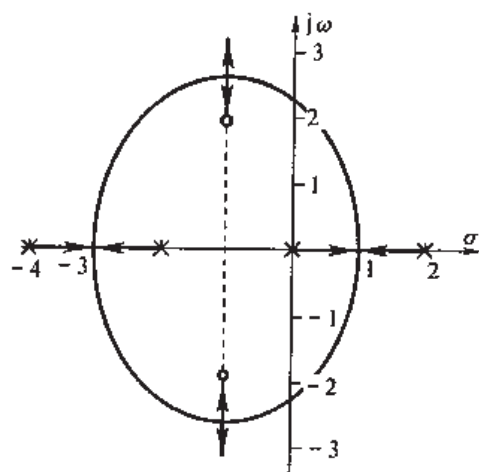
(e)



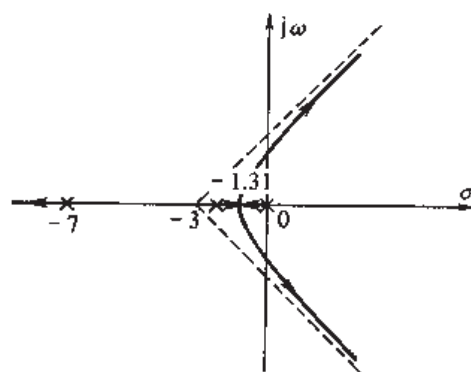
(f)

题8解图

分离点 -1.31 , 对应 $k = 12.6$, 根轨迹与虚轴交于 $\pm 4.58j$, 对应的 $k = 210$ 。当 $12.6 < k < 210$ 时, 系统具有一对负实部共轭复数极点, 具有欠阻尼阶跃响应。



题9解图



题10解图